



## Structural-functional studies of peptides derived from a long-chain snake neurotoxin *Naja naja oxiana*

Adak Nasiripourdori<sup>1</sup>, Bijan Ranjbar<sup>1\*</sup>, Hossein Naderi-Manesh<sup>1</sup>, Faramarz Mehrnejad<sup>1</sup>,  
Safie Soofian<sup>1</sup>, Goudarz Sadeghi<sup>2</sup>, Saeed Kolahian<sup>2</sup>

1. Dept. Biophysics, Faculty of Sciences, Tarbiat Modares University, Tehran, Iran.

2. Faculty of Veterinary Medicine, Tehran University, Tehran, Iran.

Received: 16 Jul 2008

Revised: 20 Sep 2008

Accepted: 24 Sep 2008

### Abstract

**Introduction:** Today the design and structural characterization of mini-proteins with a compact folded structure provide insight into the complex architecture of proteins and has long been a challenging issue in structural-functional studies. Alpha neurotoxins from snake venom have a distinct folded structure comprised of a disulphide core and three loops or "fingers"; each of these loops are considered as a separate functional domain. Because of the selectivity and specificity of snake alpha neurotoxins, they are ideal candidates for structural-functional studies.

**Methods:** With the assumption that each "loop" in the structure of alpha neurotoxin is able to fold as a structurally independent unit and could possibly have functional properties, we have minimized the structure of a long-chain alpha neurotoxin into 18 and 31 amino acid peptides using solid-phase synthesis and cloning methods, respectively. The molecules are structurally studied using circular dichroism spectroscopy and also in vitro using organ bath apparatus and chick biventer cervicis muscle (CBCM).

**Results:** The 18 and 31-mer peptides form predominant beta structures ( $\beta$ -turn and  $\beta$ -sheet/alpha helix) in aqueous solutions which vary with solvent ionic strength. Data from in vitro and in silico studies indicate that these minimized structures block the twitches in CBCM with concentrations higher than 0.5  $\mu$ M; and this effect is absolutely dose dependent. On the other hand, the long-chain alpha neurotoxin completely and irreversibly blocks the CBCM even at 50 nanomolar concentration and both effects are post synaptic.

**Conclusion:** These data support the primary assumption that the peptides derived from the second loop of snake alpha neurotoxin can have a distinct folded structure and also exist as an independent biological unit.

**Keywords:** LTP, GABAergic neuron, Fast-spiking neuron, Metabotropic glutamate receptor, Visual cortex, Transgenic mouse.

\* Corresponding author e-mail: ranjbarb@modares.ac.ir  
Available online @: www.phypha.ir/ppj



## مطالعات ساختاری- عملکردی پیتیدهای طراحی شده از نوروتوکسین *Naja naja oxiana* گونه بلند زنجیره مار کبری

آدک نصیری بور، بیژن رنجبر<sup>۱\*</sup>، حسین نادری منش<sup>۱</sup>، فرامرز مهرنژاد<sup>۱</sup>، صفیه صوفیان<sup>۱</sup>، گودرز صادقی<sup>۲</sup>، سعید کلاهیان<sup>۲</sup>

۱. گروه بیوفیزیک دانشکده علوم پایه، دانشگاه تربیت مدرس، تهران

۲. دانشکده دامپزشکی، دانشگاه تهران، تهران

دریافت: ۲۶ تیر ۸۷ بازبینی: ۳۰ شهریور ۸۷ پذیرش: ۳ مهر

### چکیده

**مقدمه:** آلفا نوروتوکسین سم مار دارای چارچوب سرشتگی مشخص مشتمل از یک هسته دی سولفیدی و سه حلقه است که هر یک از این حلقه‌ها یک دُمین عملکردی مجزا محسوب می‌شوند. این مولکول به علت پایداری و اختصاصی بودن زیاد برای گیرنده هدف، گزینه مطلوبی برای مطالعات ساختاری- عملکردی محسوب می‌شود.

**روش‌ها:** در تحقیق حاضر با این فرض که هریک از دُمین های مولکول آلفا نوروتوکسین قابلیت این را دارند که بصورت مستقل سرشته شده و احتمالاً واحد عملکرد نیز باشند، با تقلیل ساختار نوروتوکسین سم مار کبری به پیتیدهای ۱۸ و ۳۱ اسید آمینه ای با استفاده از روش‌های کلون کردن و ستر پیتید به روش فاز جامد، ساختار و عملکرد این پیتیدها در محیط آبی به ترتیب با استفاده از روش دورنگ نمایی دورانی و مطالعه اثر آن‌ها بر عضله دوقلوی گردن جوجه (Chick biventer cervicis muscle)، مورد بررسی قرار گرفت.

**یافته‌ها:** ساختار پیتیدهای ۱۸ و ۳۱ اسید آمینه ای در حالت محلول به ترتیب به دور بنا و مخلوطی از صفحات بتا و مارپیچ آلفا متمایل شد و مشاهده شد که تغییر pH محلول، بر شدت ساختار دوم پیتیدها تأثیر می‌گذارد؛ همچنین اثر پیتیدها بر روی گیرنده‌های استیل کولین عضله جوجه (CBCM) با سم نوروتوکسین مادر مقایسه شد. داده‌های بدست آمده از مطالعات تئوری و تجربی نشان می‌دهند که این مولکول‌ها با غلظت بیشتر از ۵/۰ میکرومولار اثر خود را اعمال می‌کنند و این اثر به شدت وابسته به دوز است در حالی که اثر برگشت ناپذیر سم نوروتوکسین مار کبری تا غلظت ۵۰ نانومولار نیز دیده می‌شود و هر دو اثر از نوع پس سیناپسی است.

**نتیجه‌گیری:** مولکول‌های طراحی شده از حلقه دوم سم مار علاوه بر داشتن ساختار در حالت محلول، قادر هستند به عنوان یک واحد زیستی مستقل، عملکرد نسبی را در مقایسه با سم اصلی نشان دهند.

**واژه‌های کلیدی:** طراحی پروتئین، نوروتوکسین، گیرنده استیل کولین.

### مقدمه

منجر به مرگ قربانی می‌شوند. اثرات مرگبار گزش یک مار مربوط به حضور انواع اجزای سمی در زهر آن هاست، فراوانترین این اجزای مرگبار متعلق به گروه پلی پیتیدهای سمی مؤثر بر سیستم عصبی (نوروتوکسین‌ها) و سیستم قلبی (کاردیوتوكسین‌ها) است [۲۰]. زهر مارهای خانواده کبری (کبری، افعی) حاوی تعداد زیادی پلی پیتید آلفا نوروتوکسین پس سیناپسی است که از جمله مهمترین آن‌ها می‌توان به

زهر مارهای متعلق به خانواده مار کبری بسیار سمی است و اثراتی همانند فلچ خفیف و نقصان در دستگاه تنفسی در جانداران عالی‌تر ایجاد می‌کند که در اغلب موارد این اثرات

ranjbarb@modares.ac.ir  
www.phypha.ir/ppj

\* نویسنده مسئول مکاتبات:  
وبگاه مجله:

اصلی اتصال آلفا نوروتوکسین های زهر ماریه گیرنده استیل کولین، متشکل از تعدادی اسید آمینه کلیدی است [۳، ۴، ۵، ۸]. مقایسه توالی آمینو اسیدی در آلفا نوروتوکسین های بلند زنجیره شناخته شده تاکنون، مشخص کننده تعدادی اسید آمینه مشترک است که البته همه آن ها از لحاظ عملکرد قابل توجه نیستند. مطالعات انجام شده بر روی دو نوروتوکسین بسیار شناخته شده یعنی آلفا بونگاروتوکسین و آلفا کبری توکسین تعدادی از این اسید آمینه های کلیدی را مشخص کرده است و اگرچه اتصال سومون نوروتوکسین به گیرنده استیل کولین اتصالی چند نقطه ای است اما به نظر می رسد که نواحی اصلی اتصال در این سومون، در حلقه دوم واقع شده اند.

از جمله روش های متداول در مهندسی پروتئین، تجزیه پروتئین به قطعات و واحد های کوچکتر است که در ابتدا برای مطالعه مکانیسم ها و مسیرهای سرشتگی پروتئین بنیان گذاری شد. از آن هنگام، کاربرد این روش ها بیشتر در جهت توضیح سامان دهی ساختاری پروتئین ها و منشاء تکاملی آن ها، و نیز طراحی سیستم های جدید پیوندی (هیبرید) بوده است. بررسی سامانه ساختاری یک پروتئین، امکان یافتن نواحی ای را در ساختار اولیه می دهد که می توان آن نواحی را از کل ساختار جدا نمود، بدون اینکه در عملکرد آن اختلالی بوجود آید. بطور طبیعی می توان حدس زد که دستکاری چارچوب پروتئین در نواحی با ساماندهی کمتر، مثل حلقه ها (loops) و اتصال دهنده ها (linkers) بهتر توسط سیستم تحمل می شود. در تحقیق حاضر با فرض این که هریک از حلقه ها - یا انگشت های سم آلفا نوروتوکسین قابلیت این را دارند که همانند یک دُمین زیستی مجزا سرشته شده و توانایی اتصال به گیرنده را نیز داشته باشند، با جدا سازی ناحیه اصلی اتصال به گیرنده - یعنی حلقه دو- ساختار و عملکرد این قطعه در محیط آبی و بصورت *In vitro*، *in silico* مطالعه شد. پیش از انجام مطالعات تجربی، چگونگی شکل گیری این پپتید های جدا شده از ساختار اصلی سم در محیط آبی و نیز نحوه اتصال آن ها به گیرنده هدف به ترتیب با برنامه های شبیه سازی دینامیک مولکولی (Molecular Dynamics) و شبیه سازی اتصال (Docking simulation) پیش یینی شد.

آلفا بونگاروتوکسین جدا شده از زهر مار گونه *Bungarus multicinctus* و آلفا کبری توکسین جدا شده از زهر مارهای گونه *Naja* اشاره کرد.

تاکنون بیش از ۱۰۰ نوع نوروتوکسین از زهر مارهای خانواده الپیده (کبری) و هیدروفیده (مارهای آبی) جداسازی و تعیین توالی شده است. بسته به توالی اسید آمینه ای و یا ساختار سوم، آلفا نوروتوکسین ها را می توان به گروه های کوتاه زنجیره، بلند زنجیره، بی قاعده و غیر معمول دسته بندی کرد [۲۶]. آلفا نوروتوکسین های کوتاه زنجیره بطور معمول از ۶۰-۶۲ اسید آمینه و چهار پل دی سولفید تشکیل شده اند، در حالی که آلفا نوروتوکسین های بلند زنجیره پنج پل دی سولفید و ۷۹-۶۶ (متوسط ۷۳) اسید آمینه دارند. مطالعاتی که با روش های X-ray و NMR بر روی انواع مختلف نوروتوکسین های کوتاه و بلند زنجیره انجام شده است نشان داده که این پروتئین ها ساختارهای مشابهی در شکل بلوری و در محلول دارند: ویژگی تمام آلفا نوروتوکسین ها حضور چهار پل دی سولفیدی است که تشکیل یک هسته آب گریز را می دهند و از این هسته، سه حلقه محصور شده توسط پل دی سولفید بیرون زده می شود: I، II، III. یک ویژگی بارز ساختاری در آلفا نوروتوکسین ها، ساختارهای بتای سه رشته ای است که توسط حلقه مرکزی شماره II و حلقه III شکل گرفته است.

آلفا نوروتوکسین ها به گیرنده های نیکوتینی استیل کولین متصل می شوند. این گیرنده ها کanal های یونی وابسته به لیگاند هستند و متشکل از ۵ زیر واحد که در نوع عصبی این گیرنده ها، زیر واحدها از یک نوع هستند (مانند گیرنده عصبی  $\alpha 7$ ) و در نوع عضلانی، زیر واحدها مختلف بوده، آرایش آن ها به شکل  $\alpha 2\beta\gamma\delta(\epsilon)$  است [۱۹]. در اثر اتصال آلفا نوروتوکسین ها به گیرنده های پس سیناپسی استیل کولین، از اتصال لیگاند های طبیعی مانند مولکول استیل کولین، ممانعت به عمل می آید و متعاقب آن، شار یونی از خلال گیرنده متوقف شده، فلچ عضلانی اتفاق می افتد [۹-۱۰، ۱۷، ۲۴، ۳۰]. سومون نوروتوکسین با تمایل زیاد ( $10^{-11}$ - $10^{-9}$  K<sub>D</sub>) ردیاب های فارماکولوژی گزینه های ایده آلی برای اهداف طراحی دارو و کاربرد های پژوهشی محسوب می شوند. ناحیه

## مواد و روش‌ها

شده به همین منظور و روش RT-PCR، از این مخزن حاوی mRNA ژن مورد نظر بیرون کشیده شد. برای طراحی آغازگرها، توالی آمینو اسیدی سم بلند زنجیره مارکبری در نظر گرفته شد و بخشی از آن که شامل اسیدهای آمینه سیستئین شماره ۱۵ تا آلانین شماره ۴۶ است با در نظر گرفتن تمایل کدونی (Codon bias) باکتری E.Coli به توالی نوکلئوتیدی برگردانده شد. سپس ژن مورد نظر به کمک آغازگرهای طراحی شده طی مرحله RT-PCR از مخزن محتوی mRNA به دام انداخته شد. توالی آغازگر forward بصورت ۵'-CTGGAATTCATGTGCGCACCTGGACAGAAC ۳'/CTA و توالی آغازگر reverse CATCTCGAGTTAACGCACACCCCAATTCAAT طراحی شد. در مرحله بعد PCR معمولی برای تکثیر نسخه استخراج شده از RT-PCR در دماهای ۵۷، ۹۴ و ۷۲ درجه سانتیگراد به ترتیب در مدت زمان ۲ دقیقه، ۱ دقیقه و ۱ دقیقه به تعداد ۳۵ سیکل انجام شد.

پس از برش محصول PCR و نیز حامل (+) PET32a با استفاده از دو آنزیم برش XhoI و ECorI، ژن و حامل جدا سازی و استخراج شدند. استخراج از ژل آگارز با استفاده از کیت BIONEER انجام گرفت. عمل جاگذاری در داخل حامل با استفاده از حامل پلاسمیدی PET (۰/۱۶۵ میکرو گرم یا ۰/۱۸ پیکومول)، قطعه خالص شده محصول PCR و آنزیم لیگاز انجام شد. انتقال حامل حاوی ژن مورد نظر به باکتری EColi سویه اریگامی با استفاده از کیت فرمنتاز انجام شد. برای تایید عمل انتقال، آزمایش برش آنزیمی حامل استخراج شده با آنزیم های XhoI، EcorI (دارای جایگاه برش) و HindIII (که در صورت حضور ژن در حامل، فاقد جایگاه برش است) انجام شد. حامل جدا شده برای تعیین توالی ارسال شد.

برای بیان پروتئین یک کلنی تازه از باکتری حامل وکتور در محیط LB حاوی ۱۰۰ میکرو گرم برمیکرو لیتر آمپی سیلین کشت داده شد و به مدت یک شب در دمای ۳۷°C قرار گرفت. از محیط کشت داده شده به مقدار یک میلی لیتر به ۱۰۰ میلی لیتر محیط کشت تازه اضافه شد و اجازه داده شد تا در دمای ۳۷°C دانسیته نوری آن به ۰/۶ برسد؛ سپس برای القاء بیان، IPTG یک میلی مولار به محیط اضافه شد و محیط به مدت ۲۰ ساعت در دمای ۲۳-۲۵°C قرار داده شد. برای بررسی نحوه

زهر مارکبری ایرانی گونه *Naja naja oxiana* از انسستیتو تحقیقات رازی در شهرستان کرج تهیه و در دمای -۲۰°C درجه سانتیگراد نگهداری شد. ستون ژل فیلتراسیون استفاده شده، سفادکس (fine G-50) متعلق به شرکت Pharmacia و دو چداره با ابعاد  $3/5 \times 220$  سانتی متر بود که قبلاً بصورت دست ساز توسط واحد شیشه گری دانشگاه تهران ساخته شده بود. ابتدا ستون با مقدار مناسب ژل آماده شده در ۰/۰۵ مولار بافر استات آمونیم (Merck) متراکم شد؛ سپس ستون آماده شده با فاز متحرک استات آمونیم ۰/۰۵ مولار به تعادل رسید. شستشوی ستون توسط فاز متحرک با سرعت جریان ۶۰ میلی لیتر در ساعت و با استفاده از سیرکولاتور در دمای ۴°C درجه سانتیگراد انجام شد.

برای جداسازی جزء مورد نظر از زهر خام، حدود ۲۵۰ میلی گرم ماده خشک در ۲ میلی لیتر فاز متحرک حل شد و بلافارسله بر روی ستون منتقل شد. هر ۵ میلی لیتر خروجی ستون بصورت یک سهم جمع آوری شد و جذب نمونه‌ها با دستگاه اسپکتروفوتومتر در طول موج ۲۸۰ و ۲۱۵ نانومترخوانده شد. نتیجه با تخلیص قبلی صورت گرفته در منبع [۱] مقایسه شد. نمونه‌ها توسط دستگاه لیوفیلیزه خشک شدند تا برای مراحل بعدی مورد استفاده قرار گیرند.

برای جداسازی مولکول نوروتوكسین مورد نظر از مخلوط پیتیدی موجود در سهم بدست آمده از ژل فیلتراسیون، از ستون C8 RP-HPLC Semiprep (ابعاد  $10 \times 250$  میلی متر) استفاده شد. سرعت جریان ۱ میلی لیتر در دقیقه بود و شستشو با استفاده از شیب خطی استونیتریل حاوی ۱٪ تری فلورواستیک اسید ۲۴۵ نانومتر خوانده شد. نمونه‌ها توسط دستگاه لیوفیلیزه خشک شدند تا برای مراحل بعدی مورد استفاده قرار گیرند.

RNA سلولی از غدد زهری مارکبری - که بلافارسله در نیتروژن مایع نگاهداری شد - استخراج شدند. سپس این غدد منجمد شده هموژنیزه شده و RNA موجود در آن با روش کیت استخراج total RNA شرکت سیناژن استخراج شد. مخزن حاوی mRNA بلافارسله در دمای -۸۰°C درجه سانتیگراد نگاهداری شد. در مرحله بعدی با استفاده از آغازگرهای طراحی

سولفیدی بود و برای سنتز از روش اکسیداسیون در معرض هوا استفاده شد [۲]. برای این کار پپتید با غلظت  $10^{-3}$  –  $10^{-4}$  مولار در اسید استیک رقیق یا استات آمونیم حل شد و pH محلول بین ۷/۵ تا ۸ تنظیم شد. محلول در دمای اتاق در معرض هوا به هم زده شد. در نهایت پپتید با استفاده از تری فلورو استیک اسید بی حفاظت شده، با <sup>۴</sup>C HPLC و بر روی ستون فاز معکوس Vydac C-18 semiprep با شیب غلظتی آب- استونیتریل حاوی ۰/۱٪ TFA، تخلیص و لیوفیلیزه و در دمای  $20^{\circ}\text{C}$  –  $20^{\circ}\text{C}$  نگهداری شد. خلوص بیش از ۹۵ درصدی پپتید با استفاده از ستون آنالیتیکال فاز معکوس C18 Vydac با HPLC تایید شد. برای تایید محتوای آمینو اسیدی آن از روش آنالیز آمینو اسیدی استفاده شد.

بررسی ساختار دوم پپتیدها با استفاده از تکنیک دو رنگ نمایی دورانی (CD) و در قدرت‌های یونی مختلف مورد بررسی قرار گرفت. طیف‌های بدست آمده بر حسب تعییرات بیضی واری مولکولی علیه طول موج رسم شدند. دستگاه اسپکتروپلاریمتر استفاده شده Jasco-J715 بود. داده‌های خام CD با استفاده از رابطه زیر به بیضی واری مولکولی<sup>۱</sup> بر حسب

$\text{dmol}^{-1} \text{deg cm}^2 \text{dmol}^{-1}$  تبدیل شدند:

$$[\theta]_{\lambda} = \frac{\theta_{\lambda} M_{rw}}{10LC}$$

$\theta_{\lambda}$  بیضی واری مشاهده شده بر حسب mdeg در طول موج  $\lambda$  و وزن متوسط پپتید مورد مطالعه است که از تقسیم وزن مولکولی آن بر تعداد اسید آمینه‌ها بدست می‌آید. C غلظت پپتید بر حسب میلی گرم بر میلی لیتر و L طول مسیر طی شده بر حسب سانتیمتر است. ساختار پپتید‌های ۱۸ و ۳۱ اسید آمینه‌ای در حالت محلول و در pH های ۵ و ۸ بررسی شد (در اینجا pH=۸ نشان داده شده است). ساختار دوم سه نوروتوكسین تخلیص شده به منظور تایید ساختار دوم مولکول تخلیص شده و نیز به منظور مقایسه ساختار دوم آن با سایر پپتید‌های جدا شده، تنها در ۷ pH و در بافر فسفات مطالعه شد.

سم نوروتوكسین تخلیص شده (NTX-1) و پپتیدهای ۱۸ و

بیان در فواصل زمانی مختلف حدود ۱۰۰ میکرولتتر از محیط کشت برداشت می‌شد و در بافر نمونه احیایی حل می‌شد تا در نهایت توسط ژل SDS-PAGE مورد بررسی قرار گیرد. پروتئین توأم بیان شده Trx-31mer (تیوردوکسین به همراه پپتید ۳۱ اسید امینه‌ای) مورد نظر به علت داشتن برچسب هیستیدینی با ستون تمایلی نیکل-سفارز ( $\text{Ni}^{2+}$ -NTA) قابل جداسازی است. پس از انجام خالص سازی با ستون نیکل و مشاهده نتیجه بر روی ژل SDS-PAGE، برای جدا سازی پپتید از ناحیه متیونین تعییه شده در ژن اولیه، از سیانوژن (CNBr) استفاده شد. برش پپتید از ناحیه متیونین مطابق با روش گفته شده در پروتکل‌های مربوطه انجام شد [۱۰, ۳۲]. ابتدا حدود ۵ میلی گرم از پروتئین در ۱ میلی لیتر گوانیدین هیدروکلراید ۶ مولار و پس از آن در ۱ میلی لیتر اسید کلریدریک ۱ نرمال حل شد. ۲۰ الی ۱۰۰ برابر وزن پروتئین سیانوژن بر ماید اضافه می‌شود؛ به این ترتیب در ازای هر میلی گرم پروتئین، ۲۰ میلی گرم بلور سیانوژن بر ماید به محلول اضافه شد و به مدت ۲۰ ساعت در دمای اتاق و زیر هود در تاریکی، هم زده شد. پس از ۲۰ ساعت برای توقف واکنش، محلول با آب مقطر به میزان ۵ برابر رقیق و با لیوفیلیزه کردن، واکنش کاملاً متوقف شد. در نهایت، محصول لیوفیلیزه شده (Pharmacia، و واکنش با ستون کروماتوگرافی فیلتراسیون Superdex peptide 10/300 GL) Tricorn با دامنه جدا سازی پپتید‌های کوچک ۷۰۰۰ – ۱۰۰۰ متصل به دستگاه HPLC جدا سازی شد. بافر استفاده شده بافر فسفات ۲٪ pH ۷/۲ و شدت جریان ۵/۰ میلی لیتر در دقیقه انتخاب شد. برای تأیید ماهیت نمونه جدا سازی شده از روش هیدرولیز اسیدی و آنالیز اسید آمینه‌ای با دستگاه AminoNova استفاده شد.

اسید آمینه‌های محافظت شده، رزین‌ها و سایر مواد سنتز پپتید از کمپانی باخم (آلمان) خریداری شدند. پپتیدها به روش سنتز فاز جامد اسید آمینه<sup>۱</sup> Fmoc شده سنتز شدند و بصورت دستی با استفاده از ستون مخصوص واکنش<sup>۲</sup> بدنیال هم سوار شدند. پپتید ۱۸ اسید آمینه‌ای سنتز شده دارای یک پل دی

1. N-9-fluorenylmethoxycarbonyl

2. Fritted glass reaction vessel

### 3. Deprotected

4. High performance liquid chromatography (HPLC)

5. Molecular Ellipticity

مولار استیل کولین رسید و سپس اثر نوروتوكسین بر روی آن مشاهده شد. زمان لازم برای توقف  $\%90$  ماکریم تکانه‌ها در هر غلظت‌های ذکر شده برای نوروتوكسین ثبت شد.

برای مشاهده بستگی شدت پاسخ تکانه‌های عضله به دوزهای افزایشی استیل کولین به تنها یک و در حضور مولکول‌های مورد نظر، غلظت‌های استیل کولین از  $10^{-7}$  تا  $10^{-1}$  مولار بر روی بافت عضله آزمایش شد. سپس بافت کاملاً هر ۱۰ دقیقه و به مدت ۳۰ دقیقه شستشو داده شد تا تکانه‌ها به حالت عادی بازگشت. بعد از آن بافت عضله به مدت ۳ ساعت در معرض هر یک از مولکول‌ها قرار گرفت و بعد از گذشت ۳ ساعت، مجدداً دوزهای افزایشی استیل کولین بر روی بافت به صورت درصدی از پاسخ انقباضات عضله در عدم حضور مولکول‌ها (ماکریم پاسخ) رسم شد. غلظت مولکول‌های سه استفاده شده در آزمایش‌ها  $1/3$ ،  $5/5$  و  $1$  میکرومولار بود که در مورد مولکول نوروتوكسین سه مار، غلظت  $50$  و  $30$  نانومولار نیز آزمایش شد.

دینامیک مولکولی پیتیدها در محیط نرم افزار Gromacs (3.3.1) انجام شد [۳۳، ۲۲۷]. از پارامترهای میدان نیروی GROMOS96 برای شبیه‌سازی استفاده شد [۳۴]. مدل مولکول آب استفاده شده spc216، و فضای جعبه اطراف مولکول  $3\text{ \AA} \times 8 \times 8 \times 8$  انتخاب شد. از شرایط حدی منظم و ضربی قطع  $10$  آنگستروم برای برهمنکش‌های غیر پیوندی و الکتروستاتیک PME استفاده شد. از الگوریتم LINCS برای اعمال قیود استفاده شد [۱۵]. در هر بار شبیه‌سازی ابتدا سیستم به مدت  $500$  گام با استفاده از الگوریتم steepest descent کمینه سازی شد و جعبه با استفاده از تعداد مناسب یونهای خنثی شد. مدت زمان شبیه‌سازی برای مولکول‌های پیتید  $31$  و  $18$  اسید آمینه‌ای  $20$  نانوثانیه بود. مراحل شبیه‌سازی دینامیک مولکولی به این شرح است: نخست به منظور کمینه سازی انرژی از روش steepest descent استفاده شد، به دنبال این مرحله  $20$  پیکو ثانیه شبیه‌سازی دینامیک مولکولی با اعمال قیود موضعی<sup>۲</sup> به روش کوپلینگ فشار و دمای Berendsen

1. Particle Mesh Evald  
2. Position-restraint dynamics simulations

۳۱ اسید آمینه‌ای برای سنجش فعالیت احتمالی بصورت *in vitro* بر روی عضله دوقلوی گردنی جوجه مورد آزمایش قرار گرفتند. استفاده از عضله دو قلوی گردنی جوجه به عنوان روشی استاندارد برای بررسی اثر نوروتوكسین‌ها و میوتوكسین‌ها قبل از گزارش شده است [۱۷، ۱۴].

برای انجام آزمایش‌ها از حمام عضو معمولی با تعداد ۴ کanal که ظرفیت هریک  $25$  میلی لیتر بود استفاده شد. برای پر کردن هر یک از کanal‌ها از محلول فیزیولوژیک کربس ( $pH=7/3$ ) در آب فاقد یون آماده شد و بطور دائم با گاز کربوژن هوادهی شد ( $CO_2$  و  $O_2$ ). دمای حمام عضو  $37$  درجه سانتیگراد بود و در تمام مدت آزمایش در همین دما ثابت نگاهداری شد. بافت‌های جدا شده ابتدا به مدت حداقل  $45$  دقیقه تحت کشش یک گرم قرار می‌گرفتند و دائماً هوادهی شدند. شدت پاسخ‌های انقباضی عضله بر حسب گرم اندازه گیری و بیان شد. داده‌ها توسط دستگاه Powerlab 4sp (AD instruments, Australia) شدند و با نرم افزار مربوطه Chart5 قابل نمایش و بررسی شدند.

جوچه‌های  $14-7$  روزه با اتر به بیهوشی عمیق رفته و کشته شدند و هر یک از دو عضله گردنی آن‌ها مطابق روش ذکر شده در منابع [۳۱، ۲۹، ۲۳، ۲۰، ۱۲، ۱۱] جداسازی و در حمام عضو  $25$  میلی لیتری سوار شد. پس از آویختن عضله تحت کشش  $1$  گرمی در حمام عضو و به تعادل رسیدن آن در شرایط گفته شده به مدت  $45$  دقیقه، استیل کولین با غلظت نهایی یک میلی مولار به حمام  $25$  میلی لیتری اضافه شد. پس از نشان دادن حداقل پاسخ انقباضی به استیل کولین، حمام به مدت  $30$  دقیقه تا زمانی که انقباض‌ها به حد پایه باز گردد شستشو داده شد. سپس مولکول‌ها به مدت  $3$  ساعت با عضله انکوبه شدند، بعد از این مدت زمان مجدداً عضله در معرض استیل کولین یک میلی مولار قرار گرفت. پاسخ انقباضی در این حالت نیز مشاهده و ثبت شده، پس از رسیدن به حداقل انقباض در این حالت بار دیگر بافت با فواصل زمانی  $10$  دقیقه به مدت  $3$  ساعت شستشو شد تا برگشت پذیری اثر مولکول در صورت برگشت پذیر بودن، مشاهده شود. زمان لازم برای توقف  $\%90$  تکانه‌ها یا  $t_{90}$  برای مقایسه میزان سمیت نوروتوكسین گزارش شد؛ به این صورت که ابتدا عضله به ماکریم میزان انقباض خود در غلظت  $1$  میلی

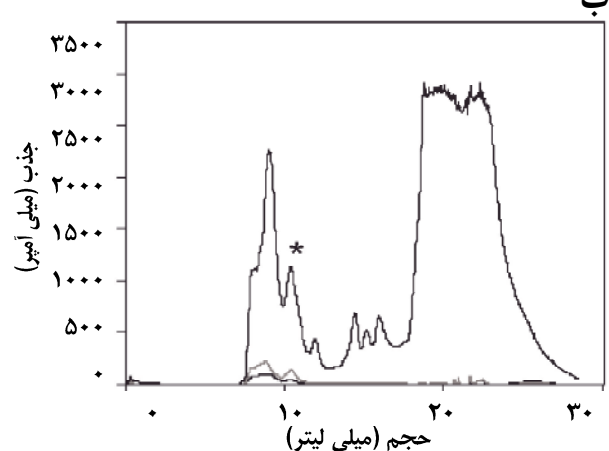
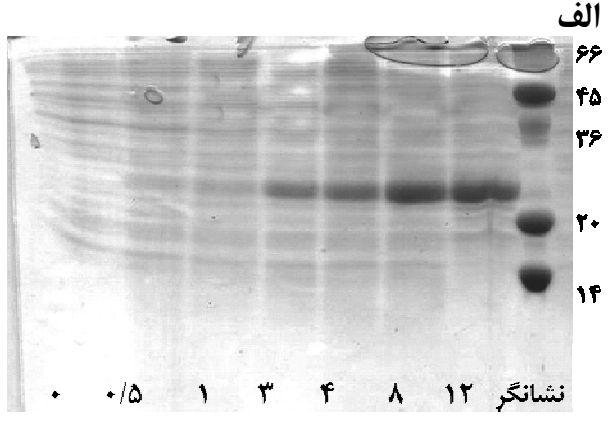
**جدول ۱**- برخی شاخص‌های پیش‌بینی شده و مشخصات فیزیکو‌شیمیایی پستیدهای ۳۱ و ۱۸ اسید آمینه‌ای.

شاخص ناپایداری	بار کلی	ضریب خاموشی ایزوکلتیریک I	نقطه pI	وزن مولکولی	تعداد اسید آمینه
+ ۱	۱۱۱۲۵	۷/۷۳	TKTWCDAWCGSRGKVEL	۲۰.۵۳/۳	۱۸
+ ۱	۱۲۷۴۰.	۷/۸۲	CAPGQNLCYTKTWCDAWCGSRGKVIELGCAA	۳۳.۰۵/۸	۳۱

در زیر آمده است:



توالی نوکلئوتیدی پپتید ۳۱ اسید آمینه‌ای بیان شده در حامل بیانی PET32a(+) در ضمیمه تکمیلی مقاله قابل دسترسی



**شکل ۱-الف-** بیان زن در حامل (+) PET32a در فواصل زمانی ۰، ۳۰، ۶۰، ۱۸۰، ۲۴۰، ۴۸۰ دقیقه و ۱۲ ساعت؛ القاء بیان با IPTG ۱ میلی مولار انجام شده است. نشان وزن مولکولی از بالا : ۶۶، ۴۵، ۳۶، ۲۰ کیلو Dalton. ب- کروماتوگرام حاصل از جدا سازی پروتئین نوترکیب برش خورده با سیانوژن بر ماید بـ روى سـ تون ژـ فیلتراسـ یون (Pharmacia, Superdex peptide 10/300 GL) Tricorn دستگاه HPLC. جکاد منتظر با پیتید مورد نظر با ستاره مشخص شده است.

انجام گرفت [۶] و شبیه سازی دینامیک مولکولی نهایی برای هریک از مولکول‌های ذکر شده، در مدت زمان‌های گفته شده انجام گرفت.

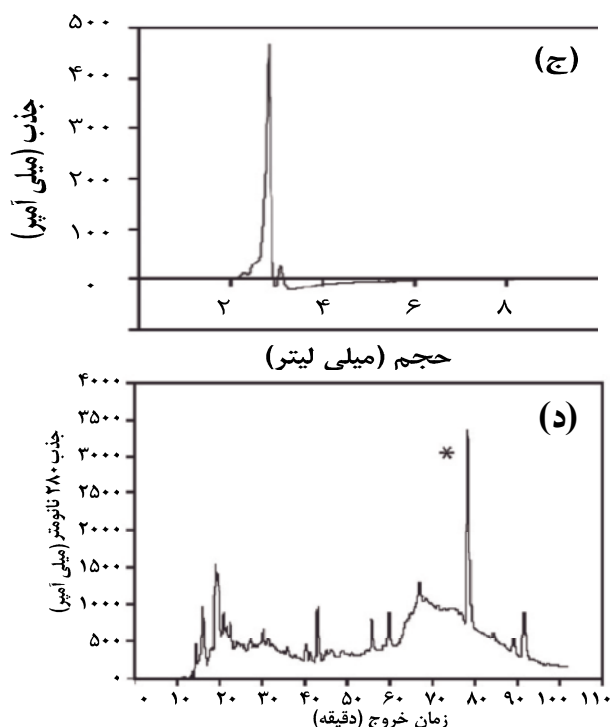
تحلیل داده‌های شبیه سازی دینامیک مولکولی با استفاده از فرمان‌های موجود در بسته نرم افزاری Gromacs انجام گرفت. محاسبه سطح در دسترس و پتانسیل الکتروستاتیک در swiss pdb viewer مولکول ها با استفاده از برنامه‌های VMD و [۱۳][۱۸] انجام شد.

مافته‌ها

یک تطبیق توالی<sup>۱</sup> معمول در میان آلفا نوروتوکسین ها نشان می دهد بیشتر آمینو اسید های حفظ شده و واجد اهمیت عملکردی، در ناحیه حلقه- یا انگشت - دوم واقع شده اند که این واقعیت مبنای انتخاب اولیه ما محسوب می شود. چگونگی شکل گیری این ناحیه در محیط آبی بصورت یک دُمین مجزا، ابتدا با شبیه سازی دینامیک مولکولی توسط برنامه GROMACS طی ۲۰ نانو ثانیه بررسی شد؛ سپس قابلیت آن از لحاظ اتصال به گیرنده استیل کولین در برنامه پیشگویی اتصال 3D-Dock مطالعه شد. پایداری پیش بینی شده این پیتیدها و نیمه عمر آن ها در انواع محیط ها، به همراه سایر شاخص های ساختاری و فیزیکوشیمیایی در جدول ۱ مشاهده می شود.

بررسی های اولیه وجود شاخص های مورد نظر -مانند توانایی شکل گیری بصورت یک واحد ساختاری و عملکردی مستقل، پایداری نسبی در محیط فیزیولوژیک و غیره- را در ساختارها تأیید کردند. پس از این مرحله، ساختن پیتید های مورد نظر با روش های مناسب با هدف، مثل بیولوژی مولکولی برای تولید پیتید ۳۱ اسید آمینه ای و سنتز پیتید فاز جامد برای ساخت پیتید ۱۸ اسید آمینه ای، انجام شد. توال های بیندهای، تولید شده

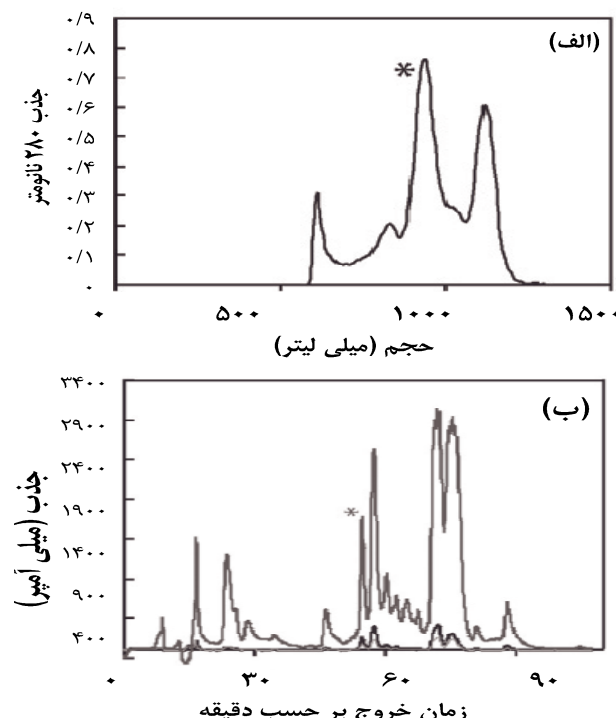
## 1. Sequence alignment



(Circular Dichroism) پیتیدها با استفاده از تکنیک دورنگ نمایی دورانی (Circular

Dichroism) تا حد زیادی این نتایج را تأیید می‌کند. سم نوروتوکسین مار کبری با کد بانک داده‌های پروتئینی NTX-1 (یا 1W6B) از تخلیص چکاد سوم ژل فیلتراسیون بر روی ستون C8 Semiprep متصل به دستگاه HPLC بدست آمد. نتیجه تخلیص در شکل ۲ نشان داده شده است. کروماتوگرام جداسازی زهر با ژل فیلتراسیون نشان دهنده ۴ چکاد اصلی است که چکاد سوم حاوی مولکول سم مورد نظر بود (تشخیص با استفاده از زمان خروج نشانگر وزن مولکولی قبل از تخلیص انجام شد). جدا سازی نوروتوکسین مورد نظر با تخلیص بیشتر این چکاد بر روی ستون C8 semiprep امکان‌پذیر شد (شکل ۲-ب). خلوص نمونه جدا شده با استفاده از ژل SDS-PAGE (شکل ۲-ج) و در نهایت از سم نوروتوکسین مورد نظر برای انعام بررسی مقایسه ای توقف تکانه عصب-عضله استفاده شد.

نتیجه تخلیص پیتید ۱۸ اسید آمینه‌ای سنتز شده به روش فاز جامد با استفاده از ستون C18 Semiprep در شکل ۲-د نشان داده شده است، پیتید مورد نظر در شب ۷۰٪ استونیتریل خارج شد و برای تأیید توالی آمینواسیدی، پس از هیدرولیز اسیدی با آمینو اسید آنالایزر مورد بررسی قرار گرفت. نمونه پیتید ۱۸ اسید آمینه‌ای سنتز شده پس از لیوفیلیزه شدن در دمای



شکل ۲-الف- کروماتوگرام ژل فیلتراسیون زهر مار کبری. تخلیص بر روی ستون G-50 (fine) انجام شده است و در نهایت چکاد سوم این تخلیص (در شکل با ستاره مشخص شده است) برای جدا سازی مولکول نوروتوکسین به ستون C8 semiprep منتقل شد. ب- کروماتوگرام چکاد سوم ژل فیلتراسیون که بر روی ستون C8 Semi-prep C18 analytical RP-HPLC منتقل شده است. چکاد متناظر با مولکول نوروتوکسین با ستاره مشخص شده است. ج- نمایش خلوص نمونه جدا شده بر روی ستون C18 Semiprep RP-HPLC

است و نتیجه تخلیص پروتئین بیان شده آن بر روی ژل-SDS PAGE در شکل ۱-الف نشان داده شده است. وزن مولکولی پروتئین نوترکیب بیان شده که متشکل است از پروتئین تیوردوکسین و پیتید ۳۱ اسید آمینه‌ای، در روی ژل SDS-PAGE اندکی پاییتر از ۲۵ کیلodalton قرار می‌گیرد. شکل ۱-ب کروماتوگرام حاصل از برش پروتئین بیان شده با استفاده از سیانوژن بر ماید را با استفاده از ژل فیلتراسیون Tricorn (Pharmacia) نشان می‌دهد. پیش از جدا سازی نمونه پروتئینی، زمان خروج نمونه‌ها از ستون با استفاده از استاندارد وزن مولکولی تخمین زده شد.

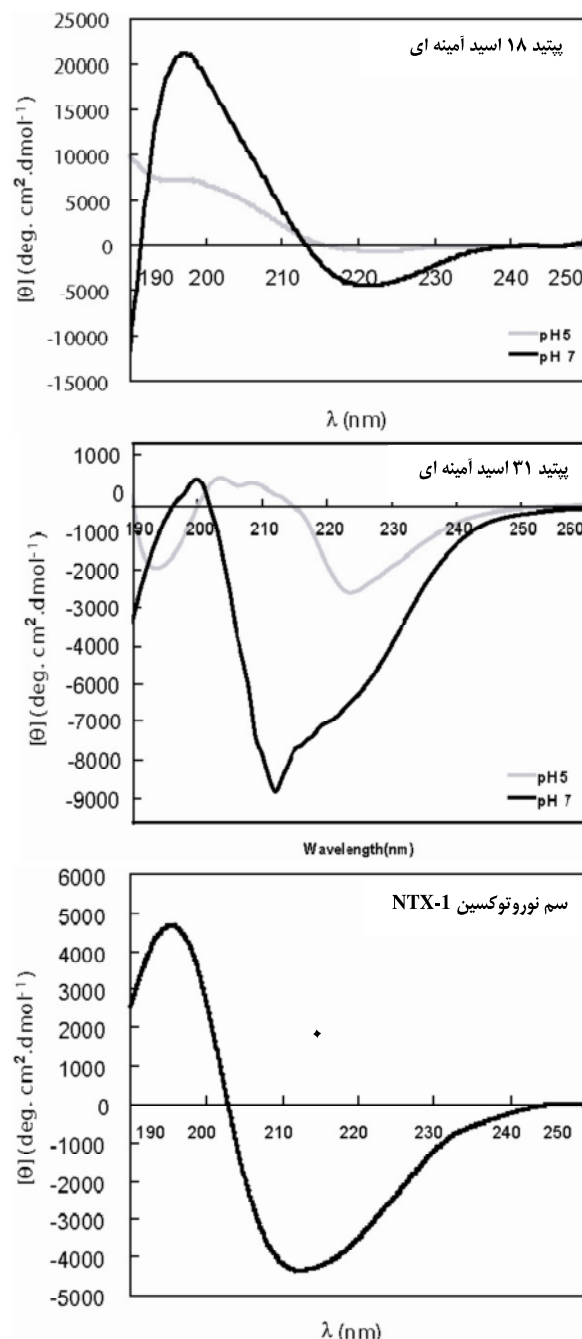
مطالعه شبیه‌سازی انجام شده از ساختار قطعات پیتیدی، نشان دهنده آن است که ساختار غالب پیتید ۱۸ اسید آمینه‌ای به تدریج به سمت ساختار دور بتا و ساختار غالب پیتید ۳۱ اسید آمینه‌ای به سمت مخلوطی از ساختارهای دور بتا و صفحات پیچ خورده ناموازی بتا متمایل شده است. مطالعه ساختار محلول در آب

محلول در آب را بدست دهد. درصد تقریبی این ساختارها بیانگر غالب بودن ساختار دور بتا در پپتید ۱۸ اسید آمینه ای، مخلوطی از ساختار ماربیچ-صفحات بتا در پپتید ۳۱ اسید آمینه ای و ساختار صفحات بتا در مولکول NTX-1 (نوروتوکسین) است.

اثر مولکول نوروتوکسین سم مار جدا شده (NTX-1) بر روی عضله گردنی جوجه با غلظت های ۱ میکرومولاو، ۵٪. میکرومولاو، ۳٪. میکرومولاو، ۵۰ نانومولاو و ۳۰ نانومولاو بررسی شد ( $n=3$ ). انکوبه کردن بافت عضله با مولکول سم نوروتوکسین NTX-1 به مدت ۱۸۰ دقیقه تا غلظت ۵۰ نانومولاو، به تک دوز استیل کولین با غلظت ۱ میلی مولاو و منحنی دوز-پاسخ استیل کولین از  $10^{-7}$  تا  $10^{-1}$  مولاو پاسخ نداد و باعث توقف کامل و برگشت ناپذیر تکانه ها شد(شکل ۴-الف). در غلظت ۳۰ نانومولاو سم، تکانه ها تا حدود  $9\pm1$ ٪ برگشت پذیر بودند. در شکل ۴-ب، نمونه ای از پاسخ ثبت شده عضله در برابر اضافه کردن محرك استیل کولین دیده میشود. غلظت های استفاده شده برای مولکول های ۱۸ و ۳۱ اسید آمینه ای، ۱٪. ۵٪. ۰٪. ۵٪. ۳٪. میکرومولاو انتخاب شد و زمان انکوباسیون با بافت ۱۸۰ دقیقه بود. مولکول ۱۸ اسید آمینه ای اثر مشهود را تنها در غلظت ۱٪ میکرومولاو نشان داد. در این غلظت تکانه ها به اندازه ۶۷٪ متوقف شدند و همچنان بازگشت ناپذیر بودند (شکل ۴-ج). در غلظت ۵٪ میکرومولاو توقف تکانه ها به اندازه ۱۷٪ و در غلظت ۰٪ میکرومولاو توقف تکانه ها به اندازه ۹٪ مشاهده شد. در مولکول ۳۱ اسید آمینه ای نیز توقف مؤثر تکانه ها تنها در غلظت های بیش از ۵٪ میکرومولاار اتفاق افتاد و در غلظت ۱٪ میکرومولاار توقف تکانه ها به ترتیب ۲۲٪ و ۷۶٪ مشاهده شدند (شکل ۴-د).

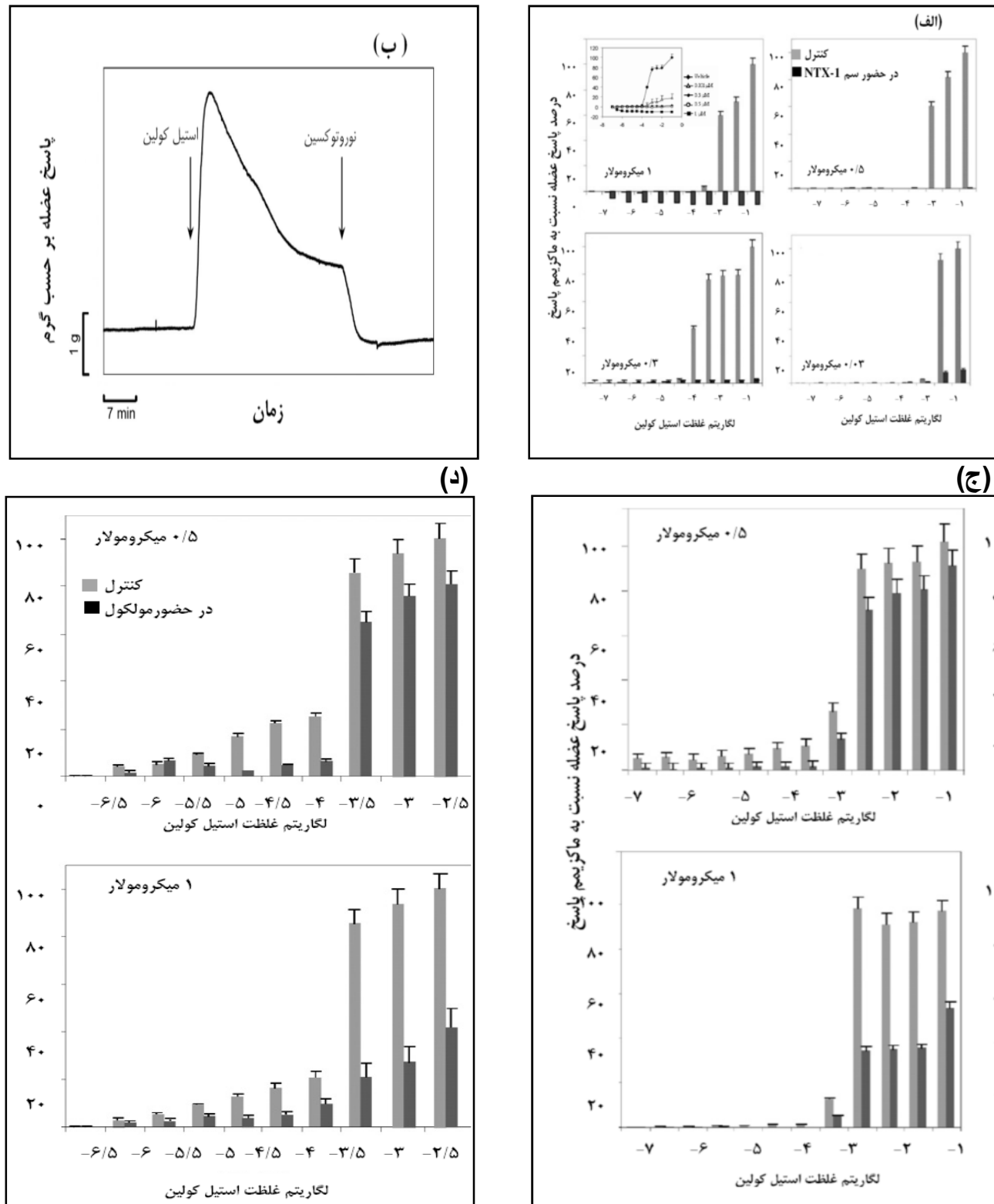
## بحث

داده های ساختاری مربوط به مولکول های جدا شده از سم مادر (نوروتوکسین 1) بیانگر آن است که این مولکول ها قابلیت سرشته شدن (Folding) بصورت واحد های مجزای ساختاری را در محیط آبی دارند. ساختارها به گونه ای انتخاب شده بودند که حداقل پایداری را با توجه به مصالح ساختاری، مانند پل دی سولفید و صفحات ناموازی بتا داشته باشند.



شکل ۳- طیف دو رنگ نمایی دورانی ساختار دوم مولکول های سم NTX1، اسید آمینه ای و ۱۸ اسید آمینه ای در ناحیه دور مأوراء بنشش.

۲۰- نگهداری شد تا جهت بررسی های ساختاری و عملکردی توقف تکانه های عصب- عضله مورد استفاده قرار گیرد. نتایج بررسی ساختار دوم محلول در آب پپتیدهای ۱۸ و ۳۱ اسید آمینه ای؛ همچنین ساختار دوم نوروتوکسین مار کبری در شکل ۳ نشان داده شده است. آنالیز طیف های بدست آمده با نرم افزار Jasco وابسته به دستگاه اسپکتروپلاریمتر دورنگ نمایی دورانی قادر است تا حد قابل قبولی تخمینی از ساختار دوم مولکول



علیرغم این ملاحظات اولیه، تغییرات ساختارها در طول زمان در شبیه سازی دینامیک مولکولی و بررسی خط سیر<sup>۱</sup> دینامیک در این مولکول ها- در ۲۰ نانو ثانیه نخست- نشان

#### 1. Trajectory

شکل ۴-الف- تأثیر مولکول سم NTX-I بر روی عضله CBCM. منحنی الصاق شده در داخل تصویر شکل اولیه منحنی دوز-پاسخ بر حسب غلظت استیل کولین را نشان میدهد. ب- نمونه ای از پاسخ عضله به محرك استیل کولین . ج- تأثیر مولکول ۱۸ اسید آمینه ای بر روی عضله CBCM غلظت ۰/۵ و ۱ میکرومولار. د- تأثیر مولکول ۳۱ اسید آمینه ای بر روی عضله CBCM غلظت ۰/۵ و ۱ میکرومولار.

در نتیجه اتصال چندگانه سم اصلی هستند، طبیعتاً اثر محدود تری اعمال می‌کنند.

بطور خلاصه می‌توان چنین نتیجه گیری کرد که بخش اصلی و تعیین کننده در تأثیر مولکول‌های نوروتوکسین بلند زنجیره، حلقه دوم است که به خودی خود می‌تواند به صورت یک واحد مجزا نیز عمل نماید، اما اتصالات برقرار شده در سایر نقاط سم نوروتوکسین، به ویژه نوک حلقه<sup>۳</sup> و دم بلند انتهای C در القای توان مولکول سم بسیار مؤثرند و نقش مکمل را ایفا می‌کنند. با توجه به عملکرد اختصاصی و انتخابی نوروتوکسین‌های مار در اتصال به گیرنده‌های استیل کولین، این مولکول‌ها می‌توانند برای طراحی ترکیبات دارویی مؤثر بر گیرنده‌های استیل کولین الگو‌های بسیار مناسبی باشند و با دستکاری هدفمند برخی خصوصیات آن‌ها، می‌توان ویژگیهای دلخواه را در اتصال به گیرنده هدف ایجاد کرد. بررسی جزئیات برهمکنش سوموم طبیعی (مانند نوروتوکسین‌ها) با گیرنده‌های استیل کولین با استفاده از روش‌های تجربی (ترکیبات نشان دار، جهش زایی در مکان‌های خاص و غیره) و روش‌های محاسباتی و پیشگویی اتصال، امکان پذیر است و ادغام این روش‌ها، در طراحی سیستماتیک ترکیبات دارویی رهبر بسیار مؤثر خواهد بود.

## سپاسگزاری

با تشکر ویژه از همکاری جناب آقای دکتر محمدپور رئیس بخش جانوران سمی مؤسسه سرم سازی رازی، جناب آقای دکتر زارع؛ گروه فارماکولوژی دانشکده دامپزشکی دانشگاه تهران و معاونت پژوهشی و فناوری دانشگاه تربیت مدرس.

## منابع

- [1] خیرآبادی میترا، خالص سازی و بررسی دینامیک مولکولی پپتید آلفا نوروتاکسین مارکری ایرانی (*Naja naja oxiana*) (Naja naja oxiana) توسط روش تعویض هیدروژن-دوترویوم با NMR و شبیه سازی. پایان نامه کارشناسی ارشد، تهران : دانشکده علوم پایه، دانشگاه تربیت مدرس، ۱۳۸۵
- [2] Amblard M, Fehrentz JA, Martinez J, Subra G, Methods and Protocols of Modern Solid Phase Peptide Synthesis.

دهنده چند نکته اساسی است: ۱- در مولکول ۳۱ اسید آمینه‌ای با فرض سرشته شدن ساختار بصورت مورد نظر، به تدریج به شکل پیچ خورده در می‌آید و به نظر می‌رسد که نیروهای بین مولکول‌ها در حالت محلول، ساختار مولکول ۳۱ اسید آمینه‌ای را به شکل تابدار<sup>۱</sup> سوق می‌دهد. ۲- مولکول ۱۸ اسید آمینه‌ای با توجه به ساختار تقلیل یافته تری که نسبت به مولکول ۳۱ اسید آمینه‌ای دارد و نیز وجود یک پل دی‌سولفید، در محیط آبی تغییرات کمتری نسبت به زمان نشان می‌دهد. در نهایت کلیه ساختارهای بتا در این مولکول به سمت  $\beta$ -turn و  $\beta$ -bridge متغیر شده‌اند. بررسی ساختار دوم این پپتیدها با استفاده از تکنیک دو رنگ نمایی دورانی نیز تأیید کننده این نکته است.

تأثیر سم نوروتوکسین مارکری بر روی عضله جدا شده، تا غلظت ۵۰ نانومولار اثری برگشت‌ناپذیر و فوری است (دقیقه<sup>۵</sup>  $t_{90} = 1\mu\text{M}$ ). تأثیر این سم بر روی عضله گردن جوجه وابسته به زمان و وابسته به دوز بود و با توجه به طبقه بندی این سم، این اثر در رده اثرات پس-سیناپسی رده بندی می‌شود. ملاحظه تأثیر مولکول‌های ۱۸ و ۳۱ اسید آمینه‌ای نشان داد که این مولکول‌ها با غلظت‌های به مراتب بیشتری اثرات خود را اعمال می‌کنند (حداقل ۲۰ برابر) اما این اثرات همچنان برگشت‌ناپذیر هستند. نکته حائز اهمیت در باره نحوه اثر مولکول‌های ۱۸ و ۳۱ اسید آمینه‌ای این است که کاملاً وابسته به دوز استیل کولین عمل می‌کنند و در غلظت‌های کم (زیر ۵/۰ میکرومولار) بیشترین اثر را در دوز‌های کمتر از یک میلی مولار استیل کولین نشان می‌دهند. با توجه به رقابت این مولکول‌ها با مولکول استیل کولین می‌توان نتیجه گیری کرد که جایگاه اتصال این مولکول‌ها با استیل کولین تداخل دارد و اثر آن‌ها از نوع پس سیناپسی است.

به نظر می‌رسد که همانگونه که پیش بینی شده بود این مولکول‌ها علاوه بر داشتن ساختار در شکل محلول، قادر هستند عملکرد نسبی را در مقایسه با سم اصلی نشان دهند. سم مادر (NTX1) اتصالی چند نقطه‌ای با گیرنده برقرار می‌کند که این شکل اتصال تضمین کننده توان (potency) سم نوروتوکسین بلند زنجیره است؛ اما مولکول‌های کوچکتری که از این ساختار مشتق شده‌اند به علت این که فاقد تمامیت ساختار سه بعدی و

1. Twisted

- [15] Hess B, Bekker H, Berendsen HJC, Fraaije JGEM, LINCS: A linear constraint solver for molecular simulation. *J Comput Chem* 18(1997)1463-1472.
- [16] Hodgson WC, Wickramaratna JC, In vitro neuromuscular activity of snake venoms. *Clin Exp Pharmacol Physiol* 29 (2002) 807-814.
- [17] Hodgson WC, Eriksson CO, Alewood P F, Fry BG, Comparison of the in vitro neuromuscular activity of venom from three Australian snakes (Hoplcephalus stephensi, Austrelaps superbus and notechis scutatus): efficacy of tiger snake antivenom. *Clin Exp Pharmacol Physiol* 30 (2003) 127-132.
- [18] Humphrey W, Dalke A, Schulten K, VMD, Visual Molecular Dynamics. *J Molec Graphics* 14 (1996) 33-38.
- [19] Karlin A, Emerging structure of the nicotinic acetylcholine receptors. *Nature Reviews* 3 (2002) 102-114.
- [20] Kuruppu S, Reeve S, Smith AI, Hodgson WC, Isolation and pharmacological characterisation of papuantoxin- a postsynaptic neurotoxin from the venom of the Papuan black snake (Pseudechis papuanus). *Biochem Pharmacol* 70 (2005) 794-800.
- [21] Kumar ,Understanding the structure, function and folding of cobra toxin. *Proc Natl Sci Counc* (Review) 23 (1999) 1-19
- [22] Lindhal E, Hess B, van der Spoel D, Gromacs 3.0: A package for molecular simulation and trajectory analysis. *J Mol Mod* 7(2001) 306-317.
- [23] Lumsden NG, Fry BG, Ventura S, Kini RM, Hodgson WC, Pharmacological characterisation of a neurotoxin from the venom of Boiga dendrophila (Mangrove cat蛇). *Toxicon* 45 (2005) 329-334.
- [24] Meldrum BS, The action of snake venoms on nerve and muscle. *Pharmacol Rev* 17(1965) 393-445.
- [25] Moise L, Piserchio A, Basus VJ, Hawrott E, NMR structural analysis of  $\alpha$ -bungarotoxin and its complex with the principal  $\alpha$ -neurotoxin-binding sequence on the  $\alpha 7$  subunit of a neuronal nicotinic acetylcholine receptor, *J Biol Chem* 277 (2002)12406-12417.
- [26] Nirthanan S, Gwee M C E, Three-finger  $\alpha$ -neurotoxins and the nicotinic acetylcholine receptor, forty years on. *J Pharmacol Sci* 94 (2004)1-17.
- [27] Samson AO, Scherf T, Eisentein M, Chill JH, Anglister J, The mechanism for acetylcholine receptor inhibition by  $\alpha$ -neurotoxins and species-specific resistance to  $\alpha$ -bungarotoxin revealed by NMR. *Neuron*, 35(2002)319-332.
- [28] **SPDBViewer 3.7** (<http://expasy.org/spdbv/>)
- [15] Hess B, Bekker H, Berendsen HJC, Fraaije JGEM, *Mol Biotech* 33 (2006) 239-354.
- [3] Antil S, Servent D, Ménez A, Variability among the sites by which curaremimetic toxins bind to Torpedo acetylcholine receptor, as revealed by
- [4] Arias HR, Topology of ligand binding sites on the nicotinic acetylcholine receptor. *Brian Res Rev* 25 (1997)133-191.
- [5] Balass M, Katchalski-Katzir E, Fuchs S, The  $\alpha$ -bungarotoxin binding site on the nicotinic acetylcholine receptor: analysis using a phage-epitope library. *Proc Natl Acad Sci USA* 94 (1997)6054-6058.
- [6] Berendsen HJC, Postma JPM, DinNola A, Haak JR, Molecular dynamics with coupling to an external bath. *J Chem Phys* 81(1984) 3684-3690.
- [7] Berendsen HJC, van der Spoel D, van Drunen R, GROMACS: A message-passing parallel molecular dynamics implementation. *Comp Phys Comm* 91(1995) 43-56.
- [8] Bourne Y, Talley TT, Hansen SB, Taylor P, Marchot P, Crystal structure of a Cbtx-AChBP complex reveals essential interactions between snake a-neurotoxins and nicotinic receptors. *Euro Mol Biol Org* 24 (2005) 1512-1522.
- [9] Chang CC, *Handbook of experimental pharmacology*. 52 (1979) 309-376.
- [10] Christie D, Gagnon J, Isolation, characterization and N-terminal sequences of the CNBr-cleavage peptides from human complement Factor B, *Biochem J* 202 (1982) 555-567.
- [11] Clarke C, Kuruppu S, Reeve S, Smith AI, Hodgson WC, Oxylepitoxin-1, a reversible neurotoxin from the venom of the inland taipan (Oxyuranus microlepidotus). *Peptides* 27 (2006) 2655-2660.
- [12] Ginsborg BL, Warriner J, The Isolated chick biventer ceroris nerve-muscle preparation. *Br J Pharmacol* 15 (1960) 410-411.
- [13] Harel M, Kasher R, Nicolas A, Guss JM., Balass M, Fridkin M, Smit AB, Brejc K, Sixma TK, Katchalski-Katzir E, Sussman JL, Fuchs S, The binding site of acetylcholine receptor as visualized in the x-ray structure of a complex between  $\alpha$ -bungarotoxin and a mimotope peptide. *Neuron* 32 (2001) 265-275.
- [14] Harvey AL, Barfaraz A, Thomson E, Faiz A, Pretson S, Harris JB, Screening of snake venoms for neurotoxic and myotoxic effects using simple in vitro preparations from rodents and chicks. *Toxicon* 32 (1994) 257-265.

- Apol E, Meulenhoff PJ, Tieleman DP, Sijbers ALTM, Feenstra KA, Van Drunen R, Berendsen HJC, *Gromacs User Manual version 3.2*, 2004.(www.gromacs.org)
- [34] Van Gunsteren WF, Kruger P, Billeter SR, Mark AE, Eising AA, Scott WRP, Huneberger PH, Tironi IG, Bimolecular Simulation: *The GROMOS96 Manual and User Guide.* (1996)
- [35] Young HS, Herbette LG, Skita V,  $\alpha$ -Bungarotoxin binding to acetylcholine receptor membranes studied by low angle x-ray diffraction. *Biophys J* 85 (2003) 943–953.
- [36] Zeng H, Hawrot E, NMR-based Binding Screen and Structural Analysis of the Complex Formed between  $\alpha$ -Cobratoxin and an 18-Mer Cognate Peptide derived from the  $\alpha 1$  Subunit of the Nicotinic Acetylcholine Receptor from *Torpedo californica*. *J Biol Chem* 277 (2002) 37439–37445.
- [29] Sullivan D, Chiara DC, Cohen JB, Mapping the agonist binding site of the Nicotinic acetylcholine receptors, *Mol Pharmacol* 61(2002)463–472,
- [30] Takacs Z, Wilhelmsen C.K, and SorotaSnake S,  $\alpha$ -Neurotoxin Binding Site on the Egyptian Cobra *Naja haje*. *Mol Biol Evol* 18 (2001)1800–1809.
- [31] Takayanagi I, Suzuhigashi K, Ishii Y, Koike K, Pharmacological properties of acetylcholine receptor in molluscan smooth muscle *Japan J Pharmacol* 33 (1983) 698-701.
- [32] Ueda T, Ohkuri T, Imoto T, Identification of the peptide region that folds native conformation in the early stage of the renaturation of reduced lysosyme. *Biochem Biophys Res Comm* 1996 (228) 203-208.
- [33] Van der Spoel D, Lindhal E, Hess B, Van Buuren AR,